

## Zwicky Transient Facility

### Sommaire

---

2.1	Présentation de la générale . . . . .	2
2.1.1	Histoire et collaboration . . . . .	2
2.1.2	Organisation de la recherche scientifique . . . . .	3
2.2	La caméra ZTF . . . . .	5
2.2.1	Caractéristiques . . . . .	5
2.2.2	Gestion des données . . . . .	6
2.3	Observation des Supernovae Ia avec ZTF . . . . .	7

---

Nous avons vu dans le chapitre précédent les propriétés de sonde cosmologique dont sont dotées les Supernovae de type Ia. Par ailleurs, nous avons également mis en évidence l’importance de la classification de ces objets notamment par le biais d’une acquisition spectrale. Afin d’arriver à cet objectif, la première étape est de détecter ces événements transitoires. Dans ce chapitre nous présenterons la collaboration Zwicky Transient Facility (ZTF par la suite), où la recherche et l’étude de tels objets font partie des objectifs majeurs. Nous nous focaliserons particulièrement ici sur la section photométrique de ZTF. Nous commencerons par présenter la collaboration et ses objectifs scientifiques, puis nous aborderons les caractéristiques de la caméra principale de ZTF et ses capacités photométriques. Enfin nous présenterons quelques statistiques et résultats de la DR1 vis à vis de la détection des SNeIa.

## 2.1 Présentation de la générale

### 2.1.1 Histoire et collaboration

ZTF<sup>1</sup> (Graham et al., 2019; Bellm et al., 2019b) est un grand relevé astronomique dont la première lumière fut obtenue en Novembre 2017, et réellement actif depuis Mars 2018. Ayant achevé la phase 1 en Novembre 2020, ZTF est actuellement à mi-chemin de sa phase 2 qui s'étend de Décembre 2020 à Décembre 2023.

Il succède au relevé Intermediate Palomar Transient Factory (IPTF, 2012-2017), lui-même précurseur de Palomar Transient Facility (PTF, 2009-2012) (Rau et al., 2009; Law et al., 2009). Ces trois relevés grand champs utilisent le télescope Samuel Oschin (48 pouces  $\approx 1\text{m}22$ ) à l'Observatoire de Palomar en Californie (Fig. 2.1).

D'une caméra avec un champ de vue de  $7.9\text{deg}^2$  pour PTF, ZTF utilise à présent pleinement le plan focal du télescope et bénéficie d'une nouvelle caméra offrant un champ de vue de  $47\text{deg}^2$ , équipé de 3 filtres *g*, *r* et *i*. La Figure 2.2 montre le champ de vue de la caméra ZTF, en comparaison avec celui d'autres relevés astronomiques. La collaboration est également doté d'un spectrographe 3D basse résolution ( $R \approx 100$ ; Blagorodnova et al. (2018)) monté sur le P48 à Palomar, qui est notamment utilisé pour la classification des transients détectés par la caméra principale.

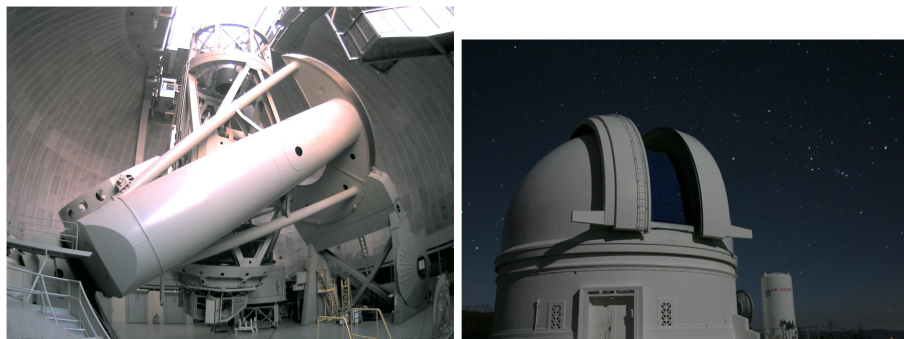


FIGURE 2.1 – Télescope Samuel Oshin P48 au Mont Palomar

ZTF est une collaboration internationale financée entre la US National Science Foundation (NSF) à travers le programme Mid-scale Innovations Program (MSIP), et un grand nombre de consortium internationaux d'Universités et institutions :

- |   |   |
|---|---|
| <ul style="list-style-type: none"> <li>• IN2P3<sup>2</sup>.</li> <li>• TANGO University System of Taiwan</li> <li>• Weizmann Institute of Science, Israel</li> <li>• Oskar Klein Center, University of Stockholm, Sweden</li> <li>• DESY/Humboldt University of Berlin, Germany</li> <li>• Ruhr University Bochum, Germany</li> </ul> | <ul style="list-style-type: none"> <li>• University of Warwick, UK</li> <li>• Trinity College Dublin, Ireland</li> <li>• University of Maryland, College Park</li> <li>• Northwestern University</li> <li>• University of Wisconsin, Milwaukee</li> <li>• Lawrence Livermore National Laboratory</li> <li>• Caltech/IPAC</li> </ul> |
|---|---|

1. <https://www.ztf.caltech.edu>

2. Institut national de physique nucléaire et de physique des particules

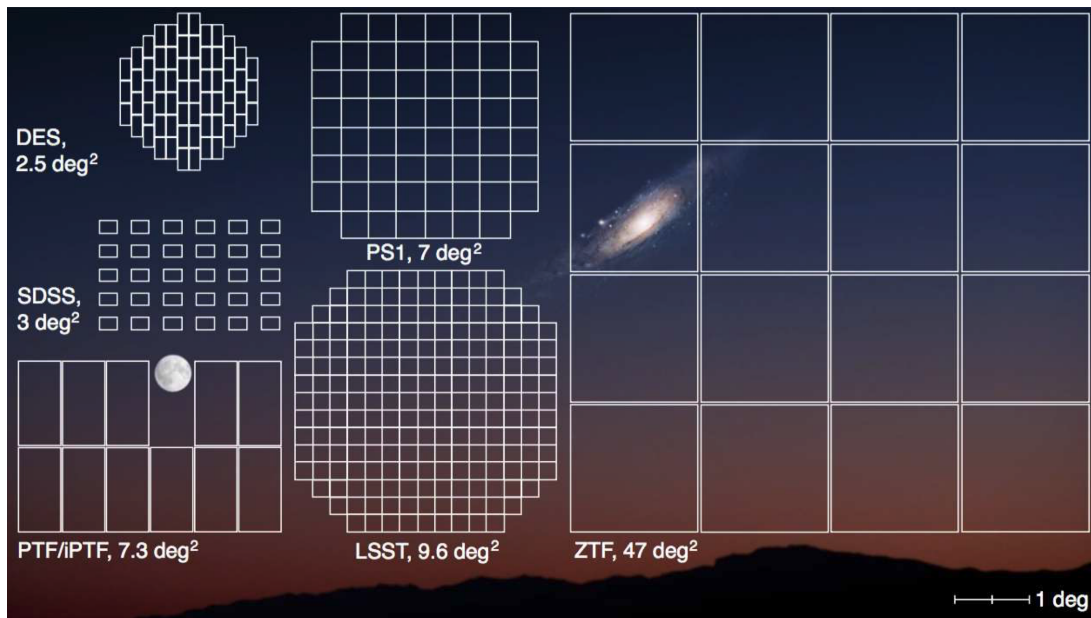


FIGURE 2.2 – Champ de vue de la caméra ZTF comparé à celui d’autres relevés astronomiques

ZTF est ainsi un partenariat privé-public, où son temps d’observation est divisé pour chaque phase du projet entre trois niveaux :

Lors de la phase 1, le temps d’allocation public (NSF) était de 40%, pour les partenariats privés de 40% également, et les 20 derniers % dédiée aux programmes de Caltech qui possèdent l’Observatoire du Mont Palomar.

L’IN2P3 étant devenu un partenaire majeur de la collaboration, la phase 2 de ZTF a vu un rééquilibrage avec 50% du temps d’observation attribué au programme MSIP, et 30% aux partenaires privés.

Durant le temps d’observation public, ZTF effectue deux sondages distincts : le ciel Nord d’une part à haute cadence, qui est entièrement scanné tous les trois jours dans les filtres  $g$  et  $r$ , et le plan Galactique d’autre part (latitude  $|b| < 7^\circ$ ), qui lui est entièrement observé chaque nuit également dans les filtres  $g$  et  $r$ .

Ces deux sondages combinés mènent à la détection et la génération d’alertes automatiques de plus d’un million d’événements par nuit. Ces événements sont des phénomènes astrophysiques transitoires ou variables, dont la magnitude de détection est inférieur à  $r \approx 20.5$ .

### 2.1.2 Organisation de la recherche scientifique

Les sections de recherches scientifiques au sein de ZTF sont nombreuses ([Graham et al., 2019](#)) :

- L’étude des AGN & TDEs :

Les AGN (*Active Galactic Nuclei*), correspondent à une région particulièrement lumineuse au coeur des galaxies. Ce sont habituellement des trous noirs supermassifs et leur disque d’accrélation. Les TDEs, ou *Tidal Disruption Events*, correspondent à des phénomènes extrêmement lumineux émanants de cette région.

- L'étude des Supernovae comme sonde cosmologique

C'est l'utilisation de leur caractéristique de chandelle standardisable pour effectuer des mesures précises de distance dans l'Univers proche. Avant 2018, seulement  $\approx 500$  de ces événements ont été observés dans l'Univers proche. En 3 ans ZTF a déterminé près de 3000 distances de ces événements.

- Physique des Supernovae

Indépendamment de leur type, de nombreux mystères demeurent sur la physique même de l'explosion des Supernovae. ZTF permet d'obtenir un échantillon unique de plusieurs milliers de Supernovae tout type confondu qui permet au groupe Bright Transient Survey (BTS) d'obtenir des mesures non-biaisées de taux de Supernovae, de fonctions de luminosités, de propriétés de galaxies hôte etc.

- Voie Lactée et M31

Avec l'observation de plusieurs millions d'étoiles chaque nuit, tout un pôle d'étude s'est formé autour des objets internes à notre galaxie, mais également dans la galaxie voisine M31, plus connue sous le nom d'Andromède. Cet échantillon gigantesque est utilisé pour étudier des naines blanches dont la luminosité varie périodiquement, d'autres avec des débris transitoires, les systèmes binaires avec émission de rayons-X, et de nombreux autres objets stellaires.

- L'Astrophysique Multimessager

Cette toute nouvelle branche de la physique a vu le jour notamment grâce aux premières détections d'ondes gravitationnelles ou de neutrinos. De tels phénomènes sont habituellement grossièrement localisés avec la détection de ce type de signal, ce qui rend difficile l'identification de la source. Dans le cas où une contrepartie électromagnétique existe, ZTF est alors capable de compléter la détection primaire avec une observation photométrique aux prémices de l'événement, notamment grâce à son champ de vue extrêmement large et sa haute cadence.

- Corps au sein du système Solaire

Ce groupe se concentre sur la découverte et la caractérisation des petits corps au sein de notre système solaire, à savoir des astéroïdes, des comètes etc.

La répartition du temps d'observation pour ces différents champs de recherches est adaptée de la façon suivante ([Bellm et al., 2019a](#)) :

- ◊ L'étude des corps au sein du système solaire se fait principalement durant l'aube et l'aurore ( $\sim 3.5\%$  du ciel pour chaque et principalement en bande  $r$ ).
- ◊ L'étude de la physique des Supernovae bénéficie d'une observation haute cadence (3 jours dans  $g$  et  $r$ ) de  $\approx 1800\text{deg}^2$ , et qui correspond à une allocation de 15% du temps d'observation.
- ◊  $\approx 8\%$  du temps pour la Cosmologie dans le ciel extra-galactique.

- ◊ Le groupe Galaxy Science observe la Voie Lactée principalement en été ( $\approx 5\%$ , toutes bandes confondus).
- ◊ Le groupe Astrophysique multi-messager peut observer et étudier de potentiels sources pour  $\approx 5\%$  du temps (toutes bandes confondus)



FIGURE 2.3 – Observatoire de Palomar, en Californie. Sur la gauche est située la caméra principale de ZTF, attachée au télescope P48 Samuel Oschi. En haut à droite nous avons le P60, sur lequel est monté le spectrographe 3D SEDm appartenant également à la collaboration ZTF. Le P200 est quant à lui utiliser par de nombreuses collaborations, et est utilisé occasionnellement par ZTF.

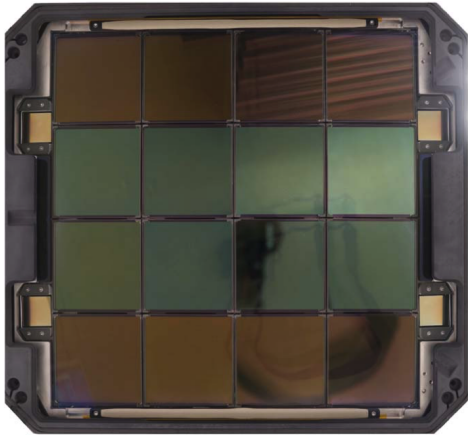
## 2.2 La caméra ZTF

### 2.2.1 Caractéristiques

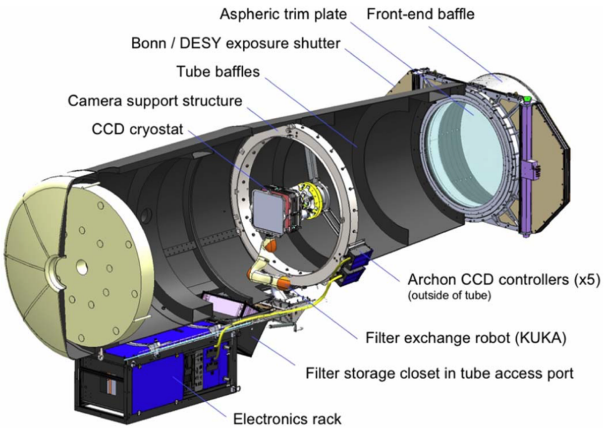
La nouvelle configuration de ZTF vis à vis de ses prédecesseurs PTF/iPTF est principalement due à sa nouvelle caméra de  $47\text{deg}^2$ , profitant de l'intégralité du plan focal du télescope Schmidt P48.

Comme illustré dans la Fig. 2.4a de Bellm et al. (2019b), la caméra est constituée d'une mosaïque de 16 CCD (Charge Coupled Device) composés de pixels carrés de  $15\text{ }\mu\text{m}$  de côté, à une échelle de  $1''.01\text{ pixel}^{-1}$ . Chaque CCD est composé de  $6144 \times 6160$  pixels, et la caméra dans son ensemble a donc 573 Mpx.

La FWHM mediane de la fonction d'étalement du point (PSF) résultant de cette configuration est de  $2''.1$  dans les bandes *g* et *i*, et de  $2''.0$  dans la bande *r*. Leur transmission respectives est présentée dans la Figure 2.5. En ce qui concerne la limite en magnitude, la bande *g* montre un seuil median à  $5\sigma$  de 20.8mag, la bande *r* de 20.6mag et la bande *i* 19.9mag. Nous illustrons les distributions de la FWHM et du seuil en magnitude pour chaque filtre dans la Figure 2.6.



(a) Plan focal de la caméra ZTF (Bellm et al., 2019b).



(b) Vue en coupe du télescope Samuel Oschin avec le nouveau système ZTF (Dekany et al., 2020).

FIGURE 2.4 – Description du système d'imagerie de ZTF (à droite) et présentation du plan focal de la caméra et ses 16 CCD (à gauche).

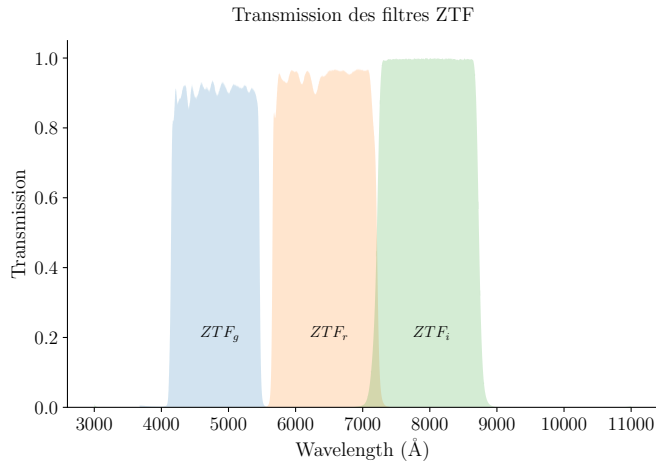


FIGURE 2.5 – Transmission des filtres  $g$ ,  $r$  et  $i$  de ZTF (Dekany et al., 2020)

Le temps de pose utilisé avec cette caméra est de 30s, et la vitesse de lecture de seulement 8s. Entre le champ de vue de 47deg<sup>2</sup> et cette haute cadence d'acquisition, ZTF est capable de scanner près de 3750deg<sup>2</sup> par heure. Sachant que tout au long de l'année il y a en moyenne 6h de ciel noir par nuit au Mont Palomar, ZTF est ainsi capable d'observer l'entièreté du ciel visible plus d'une fois par nuit. Pour donner un autre ordre d'idée, ZTF serait ainsi capable de reproduire le relevé POSS (Minkowski & Abell, 1963) en 2 nuits.

## 2.2.2 Gestion des données

Bien évidemment, un tel flux de données nécessite une infrastructure de traitement adéquate. Celle ci, appelée ZTF Science Data System (ZSDS) est hébergée à l'IPAC<sup>1</sup> (Masci et al., 2019). Ce système comprend le traitement des données, l'infrastructure d'émission d'alertes, le système d'interface utilisateur pour l'accès et l'analyse des résultats.

1. Infrared Processing & Analysis Center : <https://www.ipac.caltech.edu>

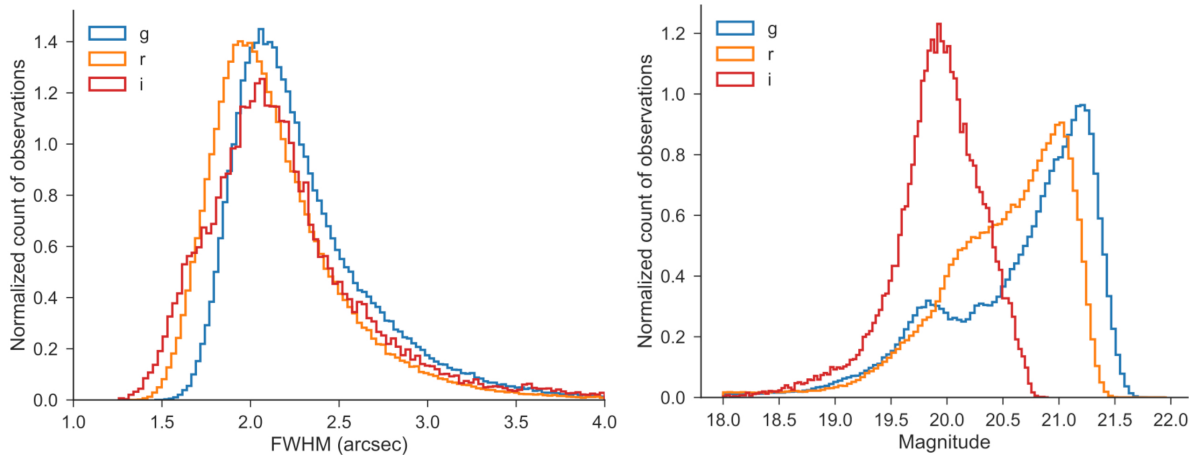


FIGURE 2.6 – *À gauche* l’histogramme normalisé de la largeur à mi-hauteur (FWHM) de la fonction d’étalement de point (PSF) pour chaque filtre durant le mois de Juin 2018 (Bellm et al., 2019b). *À droite* est représenté l’histogramme à  $5\sigma$  des magnitudes limites avec un temps de pose de 30s pour chaque filtre sur une période d’une lunaison.

Ce pipeline (exécuté en temps réel) utilise un algorithme de différentiation d’image, optimisé pour la détection de point source variable ou transitoire. Une fois l’évènement confirmé, une alerte est générée et en général déployée dans le quart d’heure qui suit. La distribution de ce flux d’alertes utilise des technologies dont le code source est public et qui sont développées en industries : Apache Kafka<sup>1</sup> qui fourni un système unifié en temps réel à latence faible pour la manipulation de flux de données, et Avro<sup>2</sup> qui est un framework de sérialisation de données. Les ordres de grandeurs de la quantité de données à manipuler sont impressionnantes : Ce système gère avec succès un flux d’environ 1,2 millions d’alertes ( $\sim 70$  GB de données) par nuit. La vitesse de transfert est d’environ 80,000 alertes/minute. Plus de détails sur le système de distribution d’alertes sont apportés dans Patterson et al. (2019). On notera que le framework Avro sera celui utilisé pour LSST.

Seules les alertes provenant des observations liées au programme MSIP sont rendues public immédiatement. Les images en revanches (brut, calibrées et produits de données associés) deviennent disponibles 6 à 12 mois après l’observation pour la Phase 1 de ZTF, et entre 3 et 6 mois pour la Phase 2. Les données d’observation ayant pour origine les programmes privés et de Caltech sont disponibles après environ 12 à 18 mois. Lors de l’écriture de ces lignes en Avril 2022, la DataRelease<sup>3</sup> 10 est public, ce qui correspond à toutes les observations MSIP de Mars 2018 au 5 Novembre 2021, et celles privées et de Caltech jusqu’au 5 Juillet 2020.

## 2.3 Observation des Supernovae Ia avec ZTF

Nous allons à présent nous focaliser sur l’observation des Supernovae de type Ia avec ZTF.

1. <https://kafka.apache.org>

2. <https://avro.apache.org>

3. <https://www.ztf.caltech.edu/ztf-public-releases.html>

Les événements transitoires nécessitant d'être filtrés parmi toutes les alertes reportées par ZTF, Nordin et al. (2019) a élaboré le système **AMPEL**<sup>1</sup> afin d'automatiquement filtrer les détections de ZTF et établir les courbes de luminosité associés aux événements retenus.

Sur les  $\sim 10^5$  alertes par nuit (ce qui correspond environ à 10% de ce qui est attendu pour LSST), la majorité ( $\sim 90\%$ ) d'entre elles sont filtrés comme étant des artefacts, des étoiles variables, des satellites ou encore des objets du système solaire. In fine, "seulement"  $\mathcal{O}(10)$  sont de nouvelles Supernovae qui doivent être identifiées et classifiées. Entre 70 et 80% d'entre elles s'avèrent être de type Ia, dont la moitié atteignent le seuil de magnitude de ZTF permettant d'établir une courbe de lumière exploitable.

La 1<sup>re</sup> data release dédiée au sondage des Supernovae de type Ia avec ZTF a été publiée et décrite par Dhawan et al. (2022) très récemment. Au stade de cette DR1, ce qui correspond à un peu plus de 2 ans et demi d'observations (Mars 2018-Novembre 2020), ZTF a déjà répertorié plus de 3000 SNIa.

La profondeur en magnitude atteint 20.8, 20.6, 20.3 mag dans les bandes  $g$   $r$ , et  $i$  respectivement, ce qui correspond à un redshift  $z \lesssim 0.1$ . L'échantillon est complet à 100% en terme de classification en deçà de  $m_{peak} = 16.5$  mag, à 93.6% en deçà de  $m_{peak} = 18.5$  mag et 88.8% à  $m_{peak} = 19.0$  mag (Fremling et al., 2020).

Cette classification est rendue possible grâce à la combinaison de la caméra de ZTF et du spectrographe 3D monté sur le P60, la Spectral Energy Distribution machine (SEDm), qui est optimisé pour la classification des SNe jusqu'à  $m \approx 19$  mag. Nous détaillerons cet instrument dans le chapitre suivant. La DR1 présente ainsi un échantillon de 761 Supernovae classifiées spectralement avec un redshift median de  $\bar{z} = 0.057$ , incluant 547 SNeIa, 155 SNeII, 40 SNeIb/c et 19 SLSNe. La Figure 2.7 (Rigault et al DR2) met en évidence la croissance de l'échantillon de SNeIa observées durant la phase 1 de ZTF, qui constituera la 2<sup>e</sup> Data Release de ZTF-Cosmo consacrée aux Supernovae de type Ia.

Sur les  $\approx 3700$  SNeIa classifiées spectralement, près de 3000 entrent dans la catégorie *échantillon dorée*, ce qui signifie qu'elles remplissent les critères dit de qualité cosmologiques pour leur courbe de luminosité vis à vis de l'algorithme SALT2 qui en dérive les paramètres de couleur et de stretch. Ces critères, basés sur l'intervalle de phase  $[-15, 30]$  jours où SALT2 est le mieux définie, sont les suivants :

- ◊ Seulement les détections photométriques à  $5\sigma$  sont considérées
- ◊ Au moins 7 points avec le maximum dans au moins 2 bandes
- ◊ Au moins 7 points après le maximum dans au moins 2 bandes

Environ 40% de ces Supernovae possèdent un redshift spectral de leur galaxie hôte (majoritairement des relevés SDSS). 50% proviennent des caractéristiques des spectres des supernovae elles mêmes, et 10% de raies d'émissions de la galaxie hôte ayant contaminées le spectre de la SNIa. Il est à noté que pour les 2 derniers points, la précision n'est que de l'ordre de 5%, insuffisant pour la cosmologie. Cependant, plus de 95% des galaxies hôtes ont une magnitude supérieur à 20 mag, ce qui signifie que d'autres relevés (comme par exemple DESI) pourraient à posteriori mesurer et fournir les redshift manquant.

ZTF a donc montré sa capacité à débusquer et classifier pas moins de 1000 Supernovae de type Ia par an, très loin devant l'actuel (ancien) leader à bas redshift Pantheon (Scolnic et al., 2018) avec 1048 SNeIa sur les 20 dernières années, dont seulement 210 à un redshift

---

1. <https://github.com/AmpelProject/Ampel-contrib-sample>

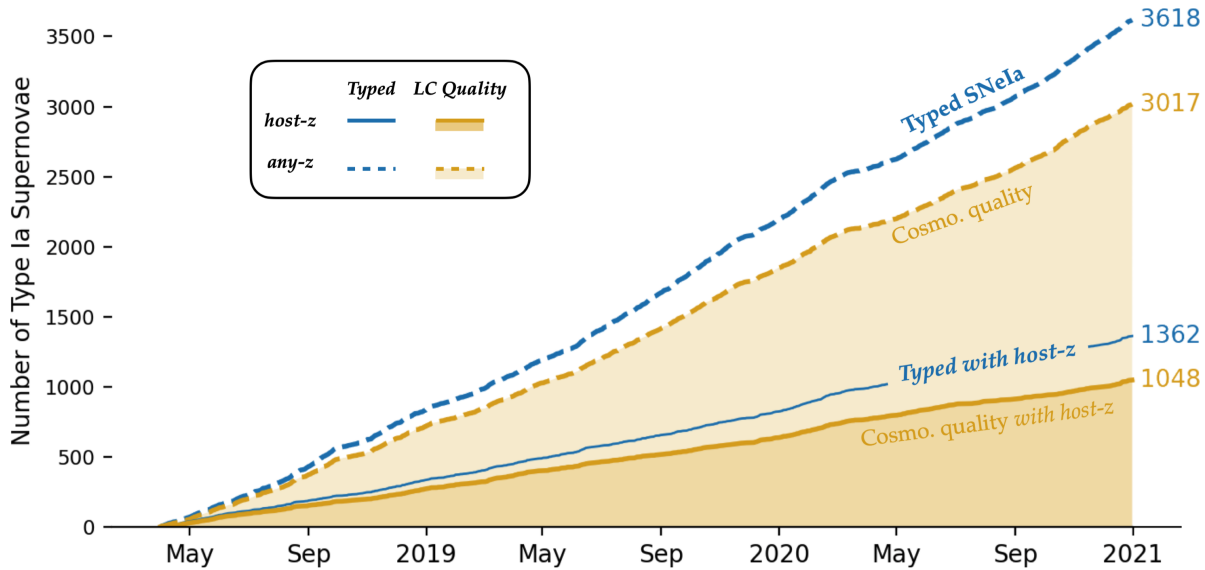


FIGURE 2.7 – Nombre cumulé de SNeIa observés par ZTF (phase 1). Les contours dorés correspondent à l'échantillon passant les critères de coupure pour une qualité cosmologique. Le trait plein montre les SN avec un redshift spectroscopique de leur galaxie hôte. À titre de comparaison, le set de données le plus récent dans la littérature cosmologique comptabilise moins de 500 SNeIa à un redshift de  $z < 0.1$

$z < 0.1$ . Leur plus récente publication (Pantheon+ [Scolnic et al. \(2021\)](#)) fait état de 1550 SNeIa, dont 389 à  $z < 0.1$ .

Nous parlerons dans le dernier chapitre de ce manuscrit de la nouvelle Data Release 2 actuellement en cours d'étude, des premiers résultats obtenus sur les courbes de lumières ainsi que des ouvertures sur la dérivation de paramètres cosmologiques.

Rappelons que la cosmologie avec les SNeIa se base sur la capacité, certes, à détecter les supernovae grâce à la caméra ZTF, mais également à leur classification. Cette étape a été peu détaillée dans ce chapitre, mais est cruciale pour éviter toute contamination des échantillons de SNeIa, induisant des biais dans la dérivation des paramètres cosmologiques ([Jones et al., 2017](#)).

Comme nous l'avons mentionné au tout début de la Section 2.1, cette classification se fait grâce à un spectrographe 3D monté sur le télescope P60. Le chapitre suivant est tout naturellement dédiée à la présentation de cet instrument, l'extraction de spectre et sa classification.



## Bibliographie

- Bellm, E. C., Kulkarni, S. R., Barlow, T., et al. 2019a, *Publications of the Astronomical Society of the Pacific*, 131, 068003 [↑ Section 2.1.2](#)
- Bellm, E. C., Kulkarni, S. R., Graham, M. J., et al. 2019b, *Publications of the Astronomical Society of the Pacific*, 131, 018002 [↑ Section 2.1.1](#), [↑ Section 2.2.1](#), [↑ Section 2.4a](#), [↑ Section 2.6](#)
- Blagorodnova, N., Neill, J. D., Walters, R., et al. 2018, *Publications of the Astronomical Society of the Pacific*, 130, 035003 [↑ Section 2.1.1](#)
- Dekany, R., Smith, R. M., Riddle, R., et al. 2020, *Publications of the Astronomical Society of the Pacific*, 132, 038001 [↑ Section 2.4b](#), [↑ Section 2.5](#)
- Dhawan, S., Goobar, A., Smith, M., et al. 2022, *Monthly Notices of the Royal Astronomical Society*, 510, 2228 [↑ Section 2.3](#)
- Fremling, C., Miller, A. A., Sharma, Y., et al. 2020, *The Astrophysical Journal*, 895, 32 [↑ Section 2.3](#)
- Graham, M. J., Kulkarni, S. R., Bellm, E. C., et al. 2019, *Publications of the Astronomical Society of the Pacific*, 131, 078001 [↑ Section 2.1.1](#), [↑ Section 2.1.2](#)
- Jones, D. O., Scolnic, D. M., Riess, A. G., et al. 2017, *The Astrophysical Journal*, 843, 6 [↑ Section 2.3](#)
- Law, N. M., Kulkarni, S. R., Dekany, R. G., et al. 2009, *Publications of the Astronomical Society of the Pacific*, 121, 1395 [↑ Section 2.1.1](#)
- Masci, F. J., Laher, R. R., Rusholme, B., et al. 2019, *Publications of the Astronomical Society of the Pacific*, 131, 018003 [↑ Section 2.2.2](#)
- Minkowski, R. L. & Abell, G. O. 1963, in Basic Astronomical Data : Stars and Stellar Systems, ed. K. A. Strand, 481 [↑ Section 2.2.1](#)
- Nordin, J., Brinnel, V., van Santen, J., et al. 2019, *Astronomy and Astrophysics*, 631, A147 [↑ Section 2.3](#)
- Patterson, M. T., Bellm, E. C., Rusholme, B., et al. 2019, *Publications of the Astronomical Society of the Pacific*, 131, 018001 [↑ Section 2.2.2](#)
- Rau, A., Kulkarni, S. R., Law, N. M., et al. 2009, *Publications of the Astronomical Society of the Pacific*, 121, 1334 [↑ Section 2.1.1](#)
- Scolnic, D., Brout, D., Carr, A., et al. 2021, arXiv e-prints, arXiv:2112.03863 [↑ Section 2.3](#)
- Scolnic, D. M., Jones, D. O., Rest, A., et al. 2018, *The Astrophysical Journal*, 859, 101 [↑ Section 2.3](#)